

Abb. 1.1

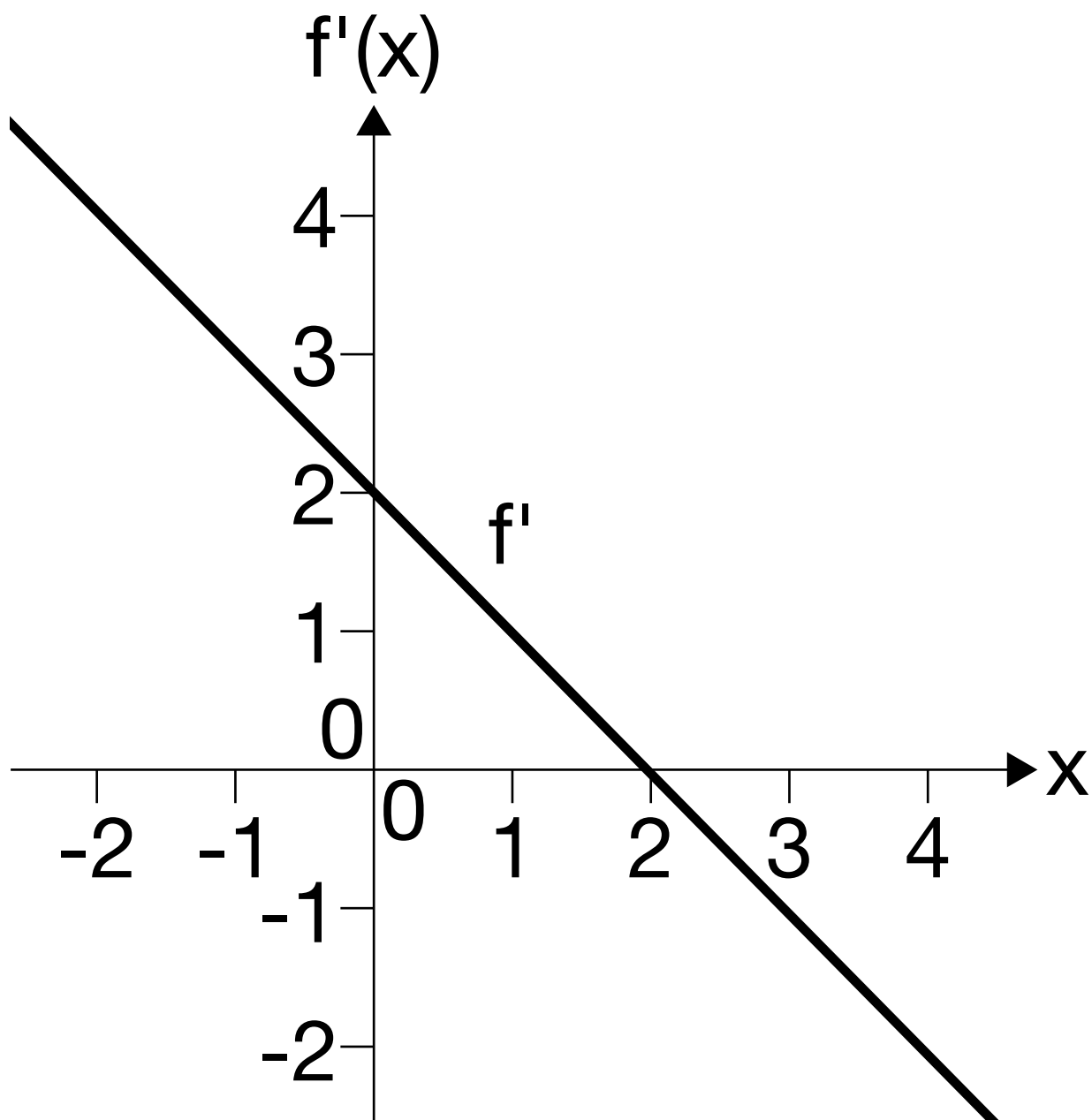


Abb. 2.1

$x \dots t \text{ in h}$

$y \dots R(t) \text{ in m}^3/\text{h}$

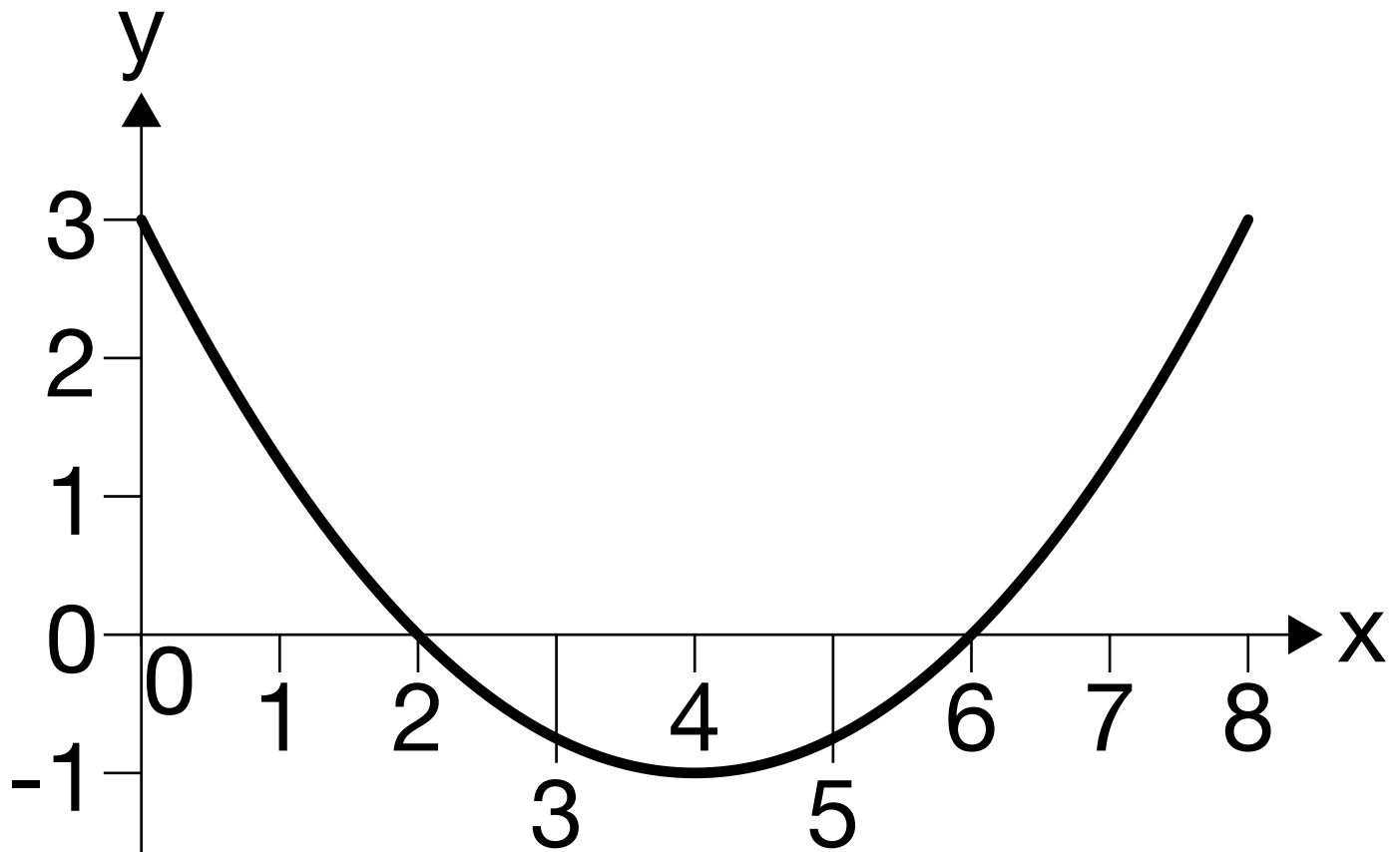


Abb. 3.1

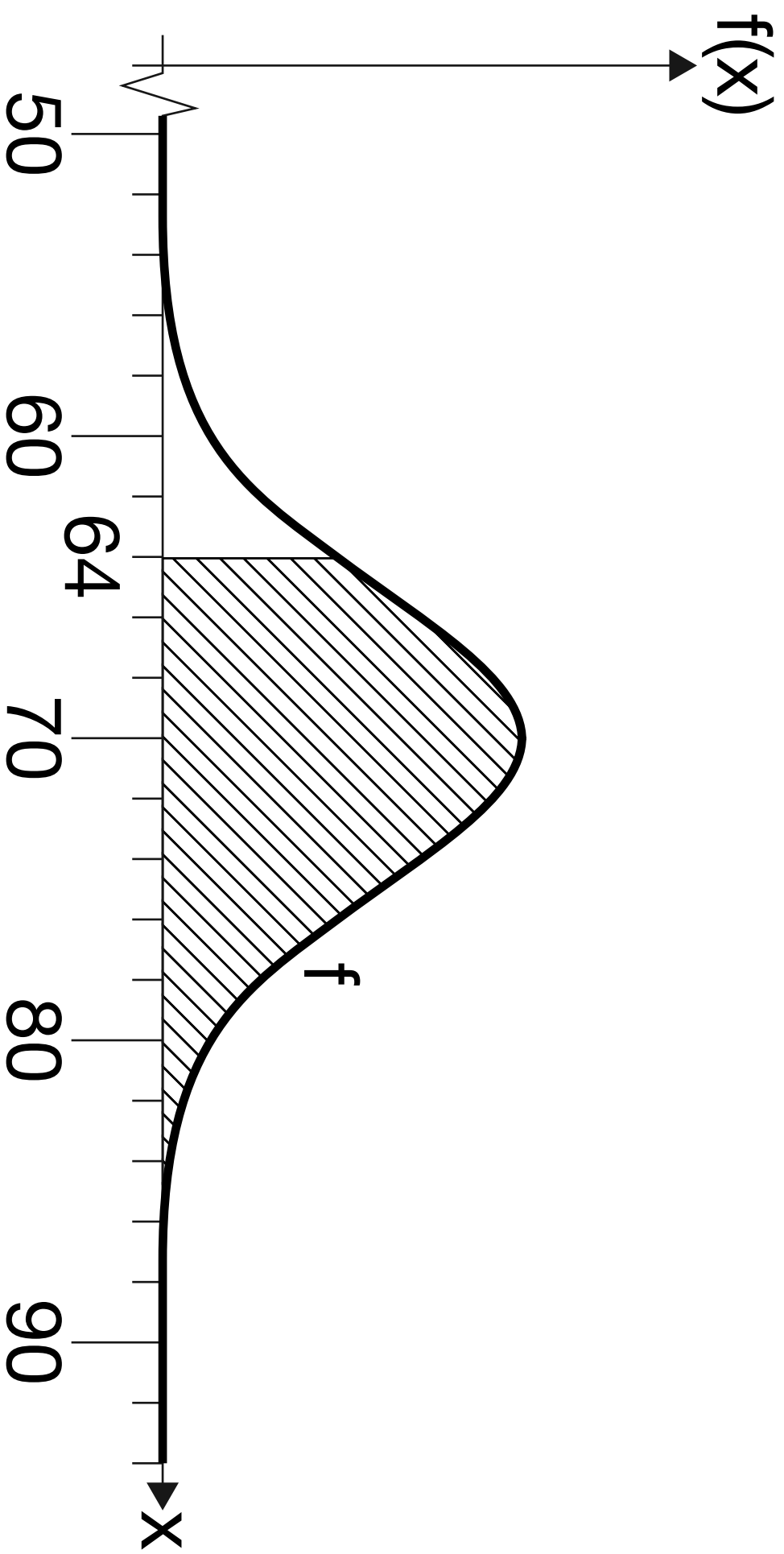


Abb. 4.1

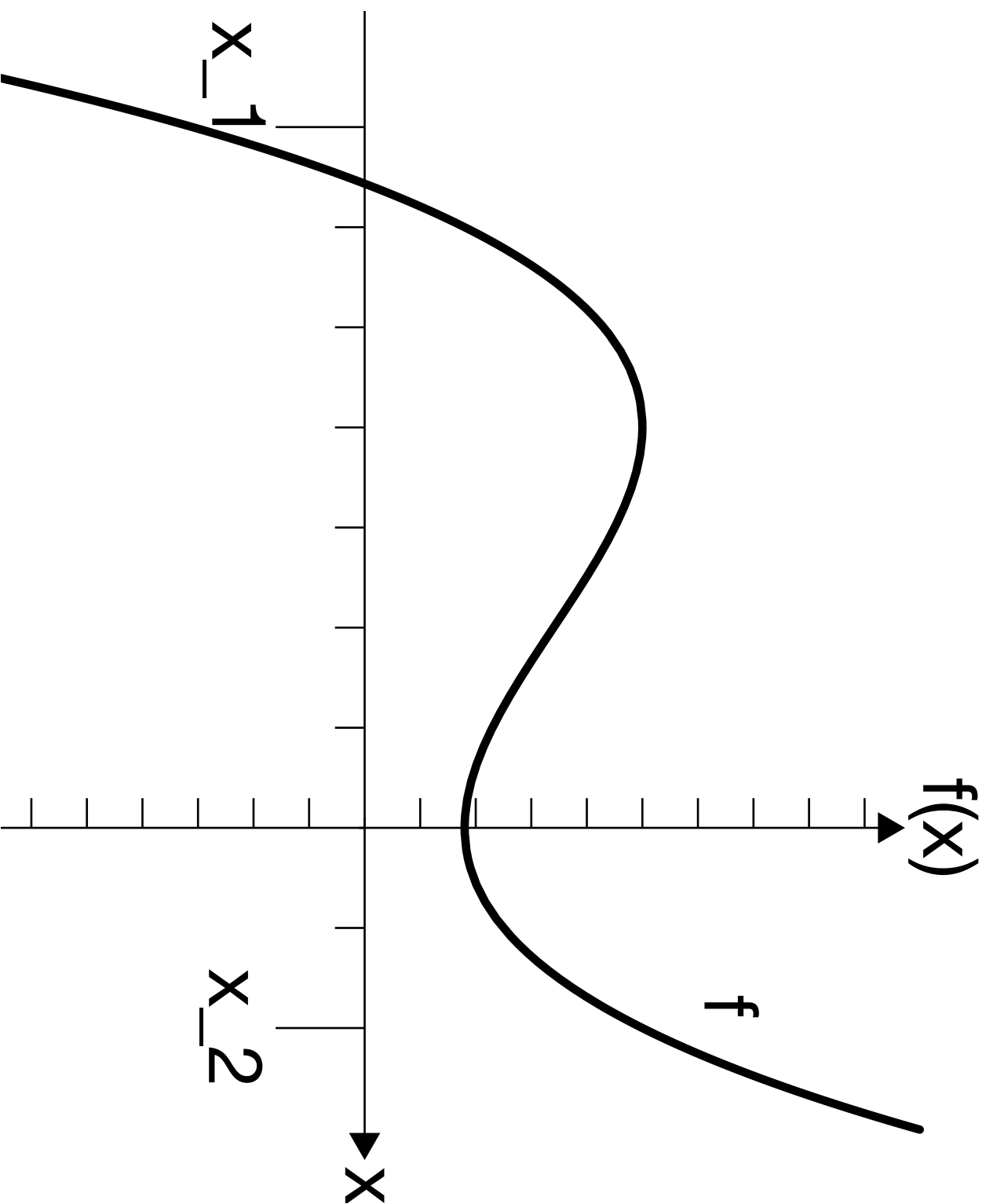


Abb. 4.2_1

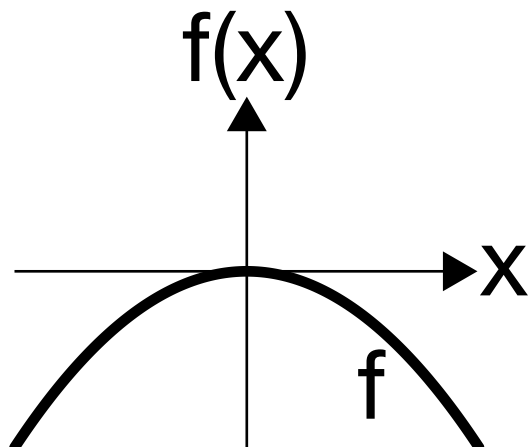


Abb. 4.1_2

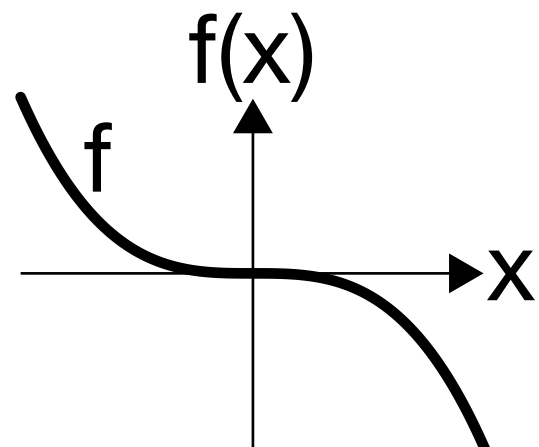


Abb. 4.2_3

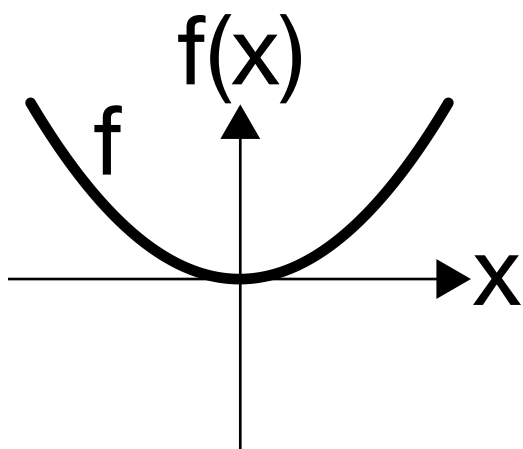


Abb. 4.2_4

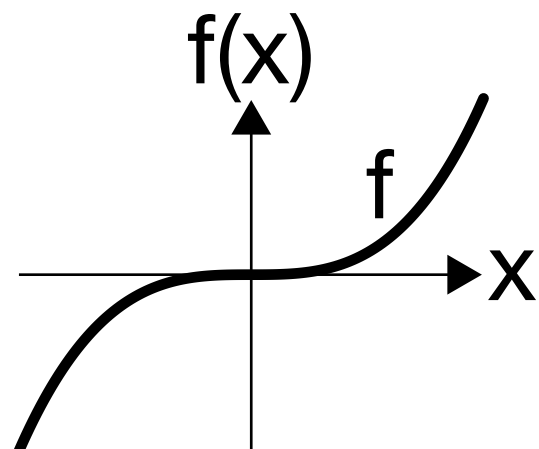


Abb. 4.3

durchgezogene dicke Linie ... f
strichlierte dicke Linie ... g

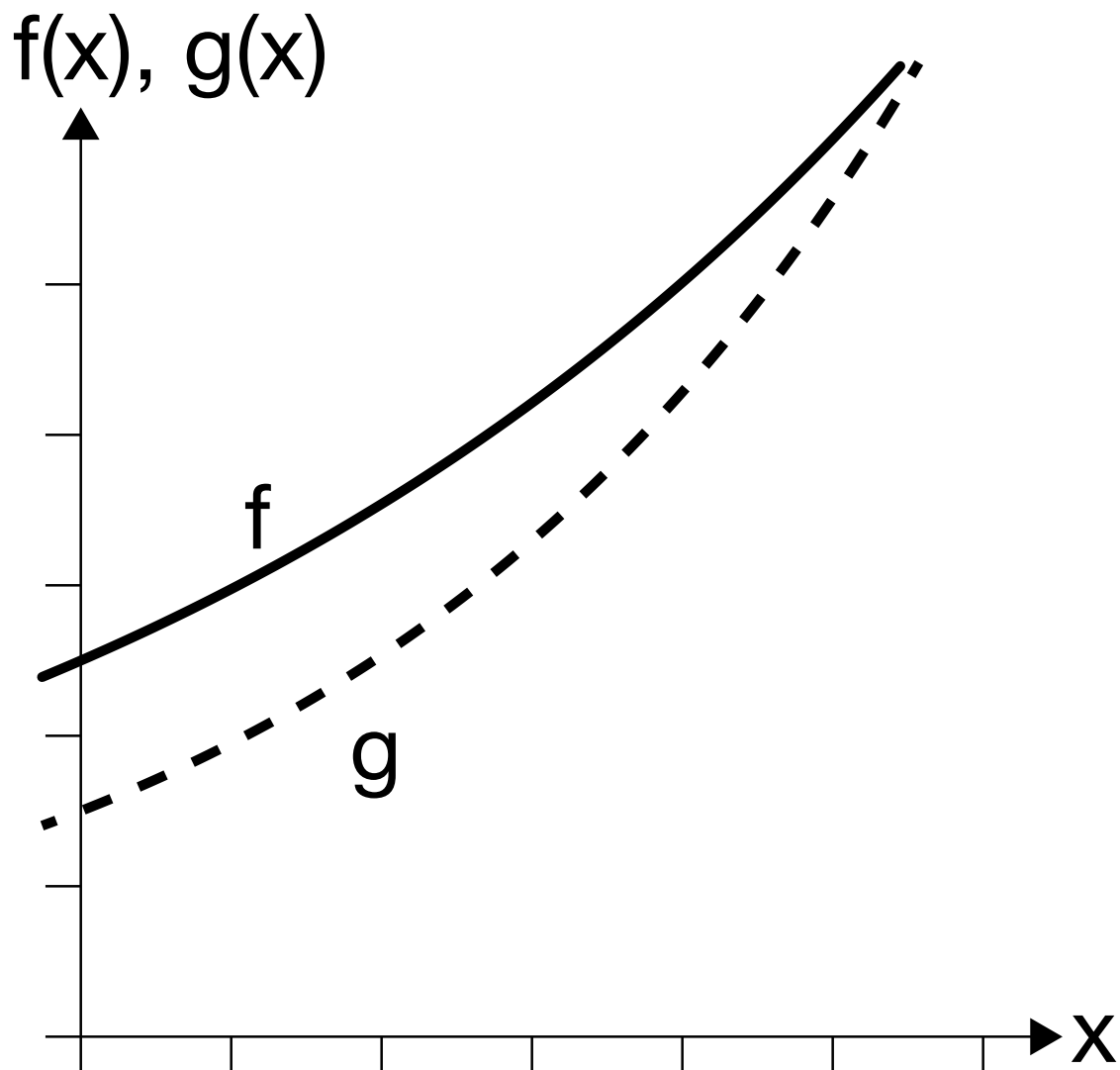


Abb. 4.4

durchgezogene dicke Linie ... f_1
kurz strichlierte dicke Linie ... f_2

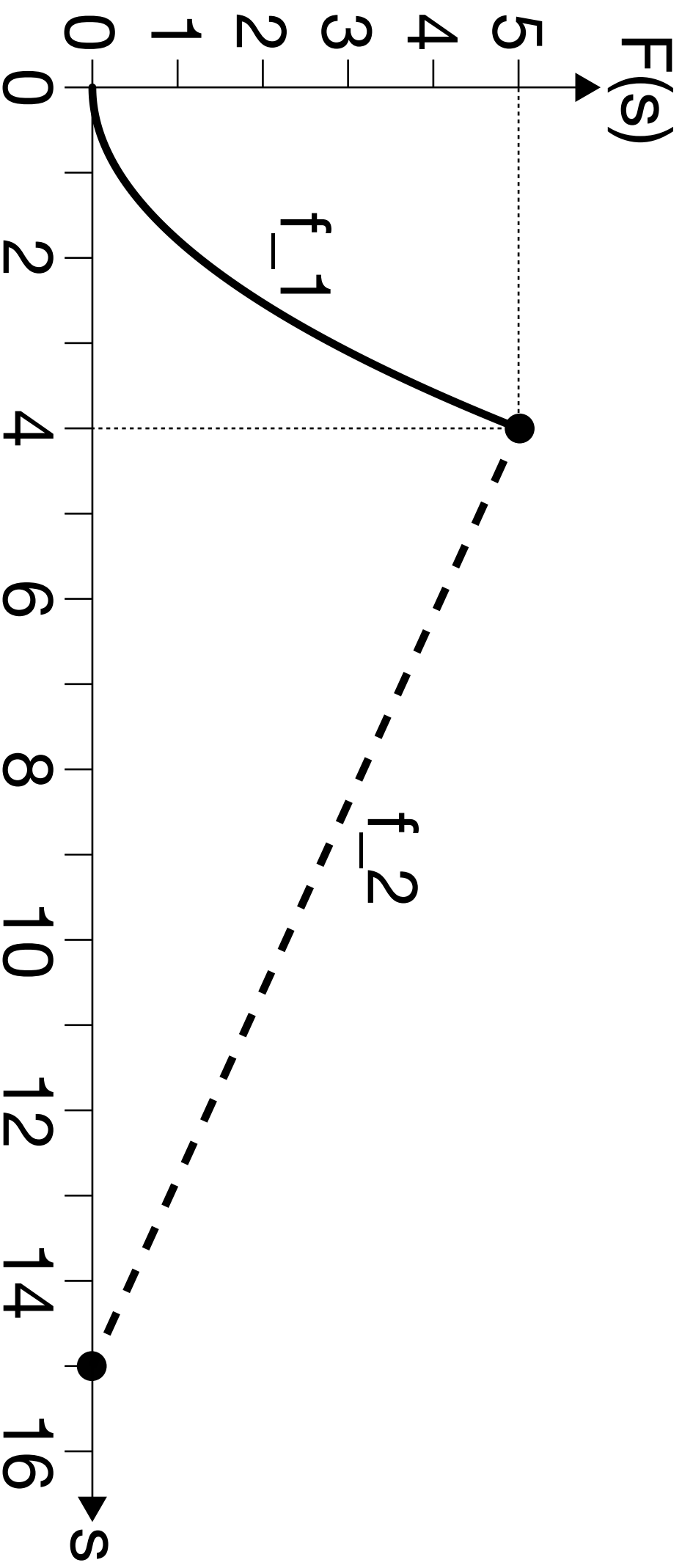


Abb. 4.5

durchgezogene Linie ... B
strichlierte Linie ... R

$B(t)$, $R(t)$

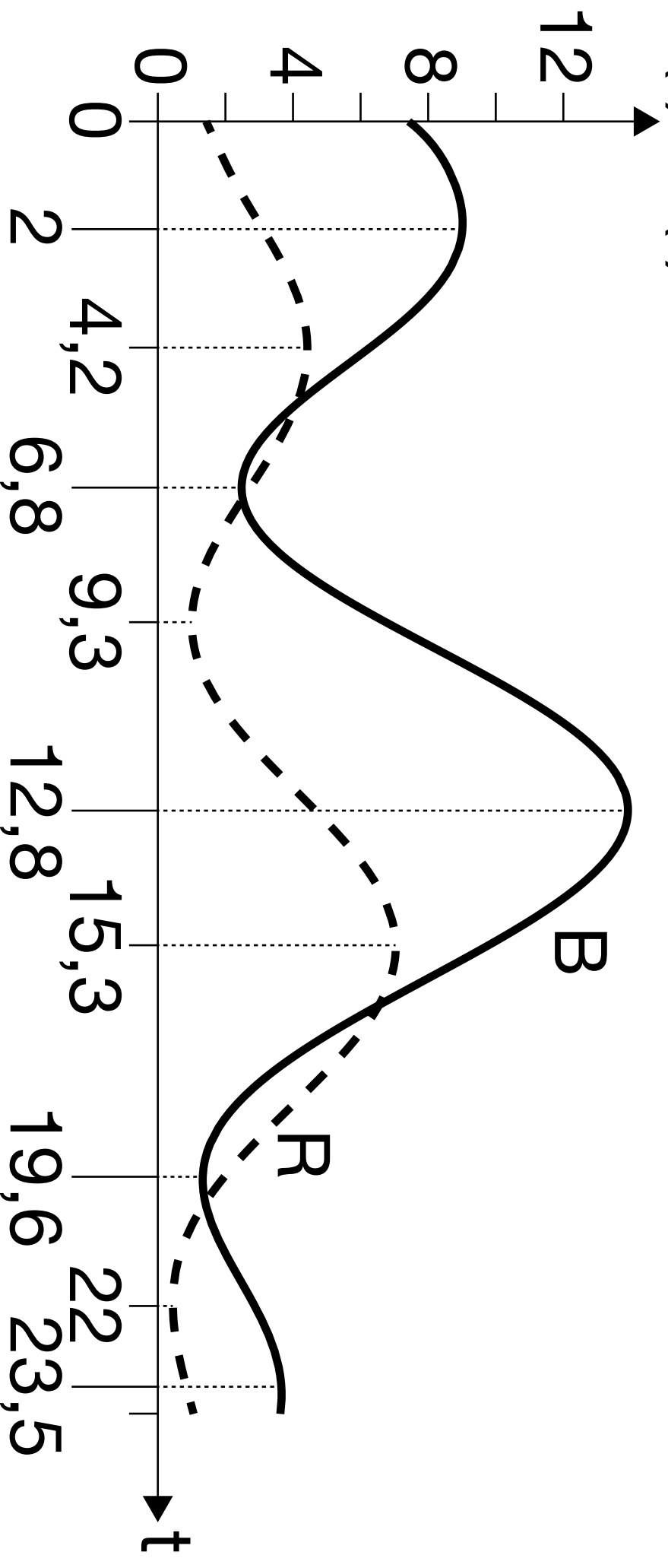


Abb. 4.6

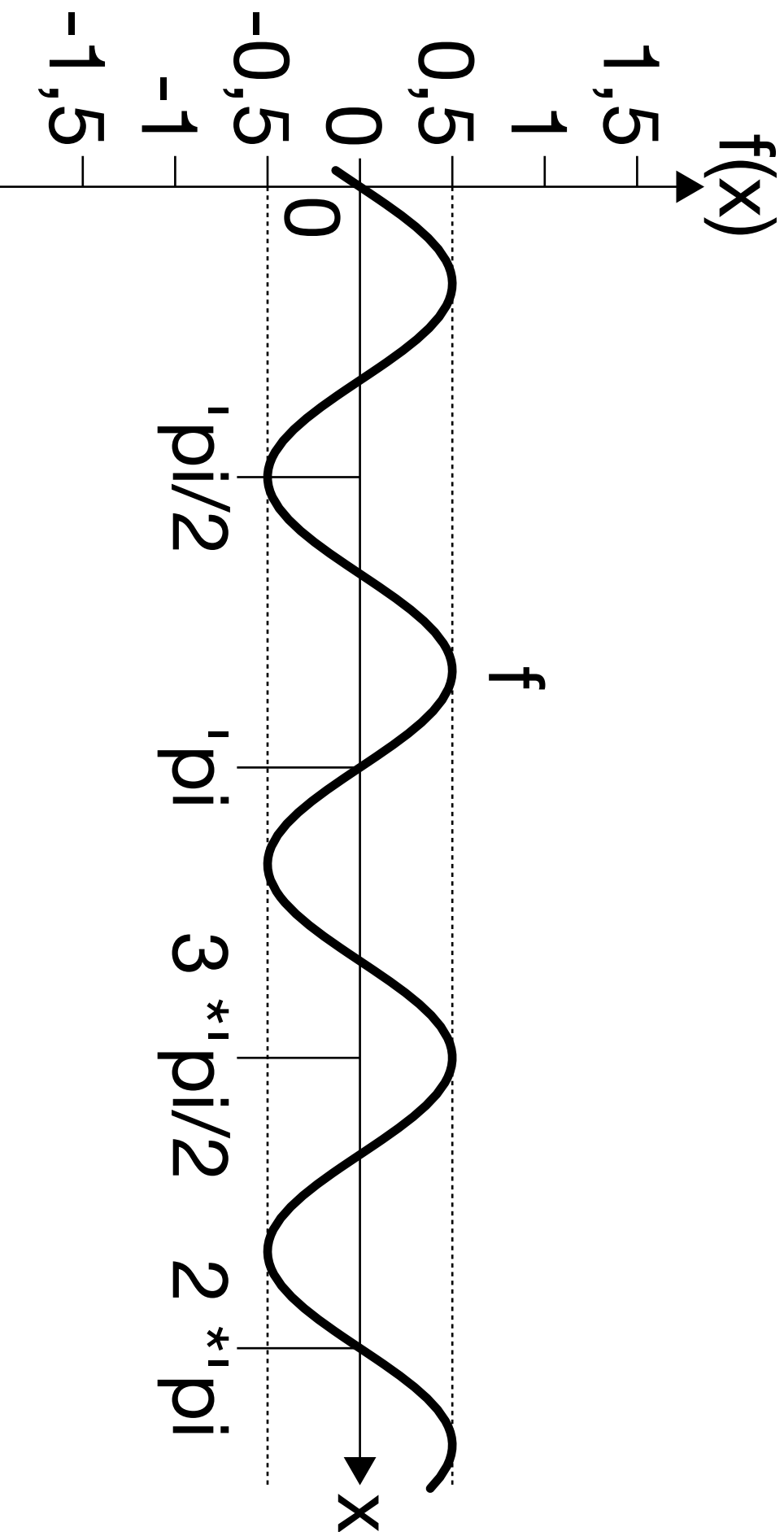


Abb. 5.1

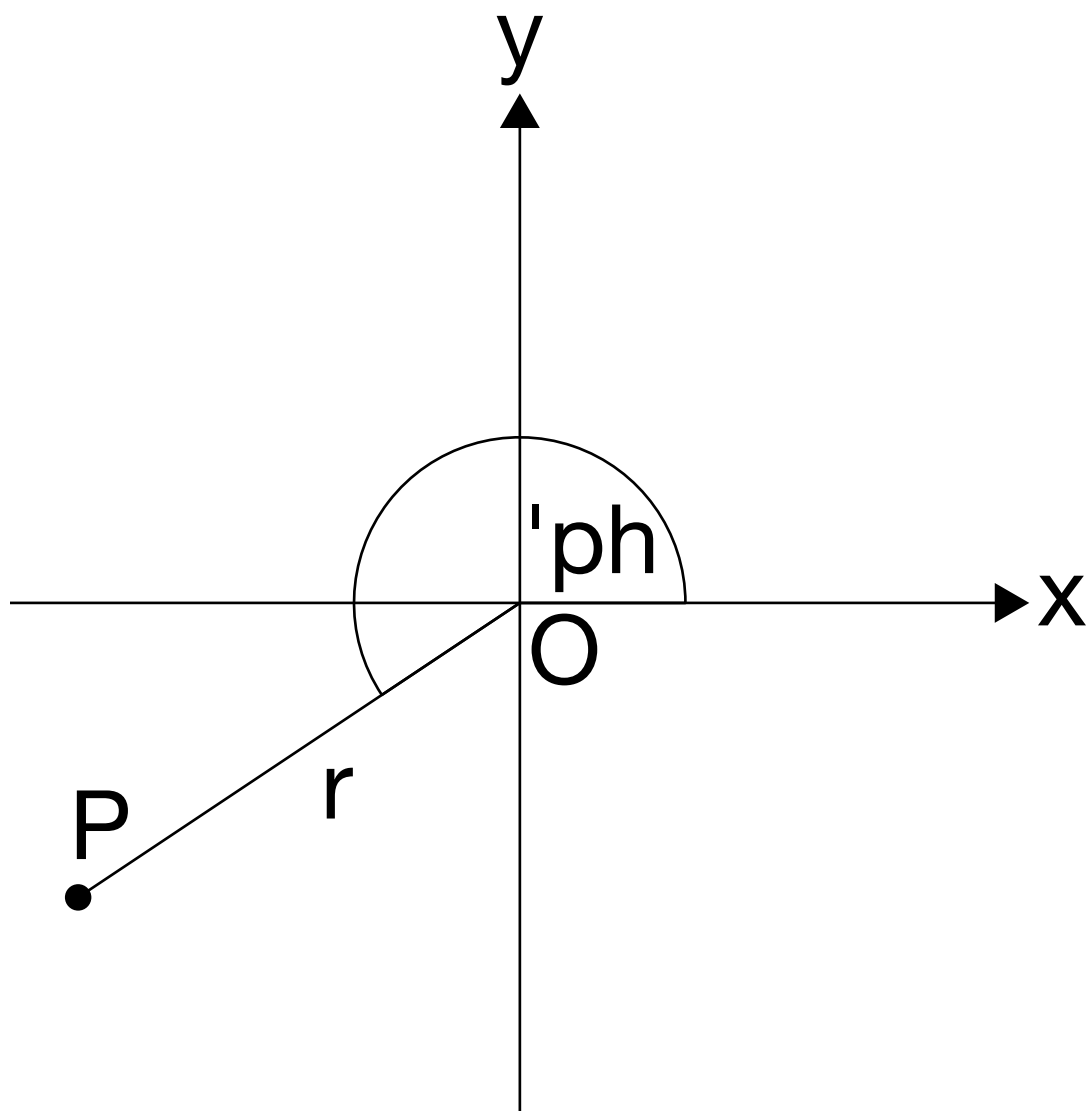


Abb. 5.2

durchgezogene dicke Linie

... Vektor \vec{v}

kurz strichlierte dicke Linie

... Vektor \vec{v}_1

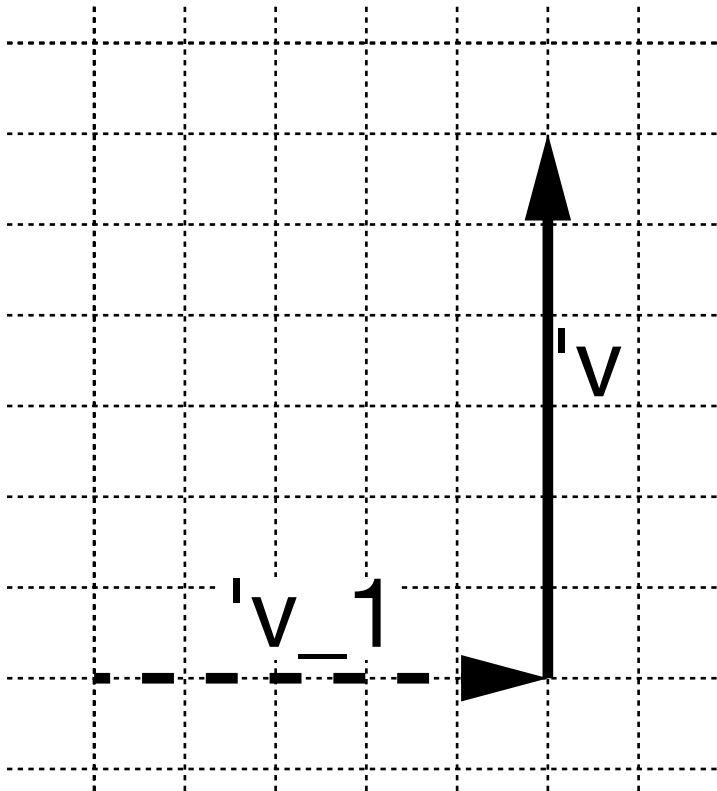


Abb. 7.1



Abb. 7.2

Temperatur in °C

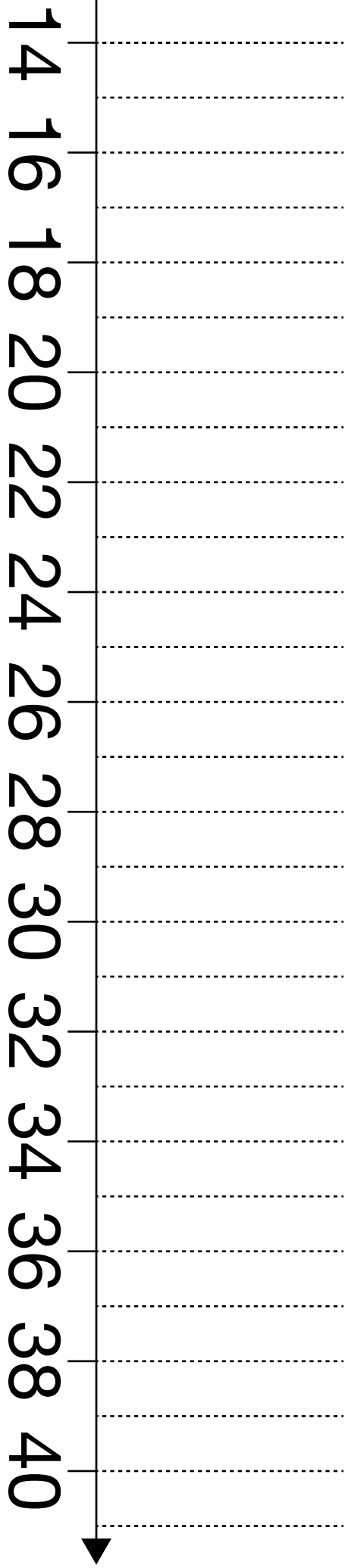


Abb. 8.1

x ... Anzahl der Tore
y ... Anzahl der Spiele

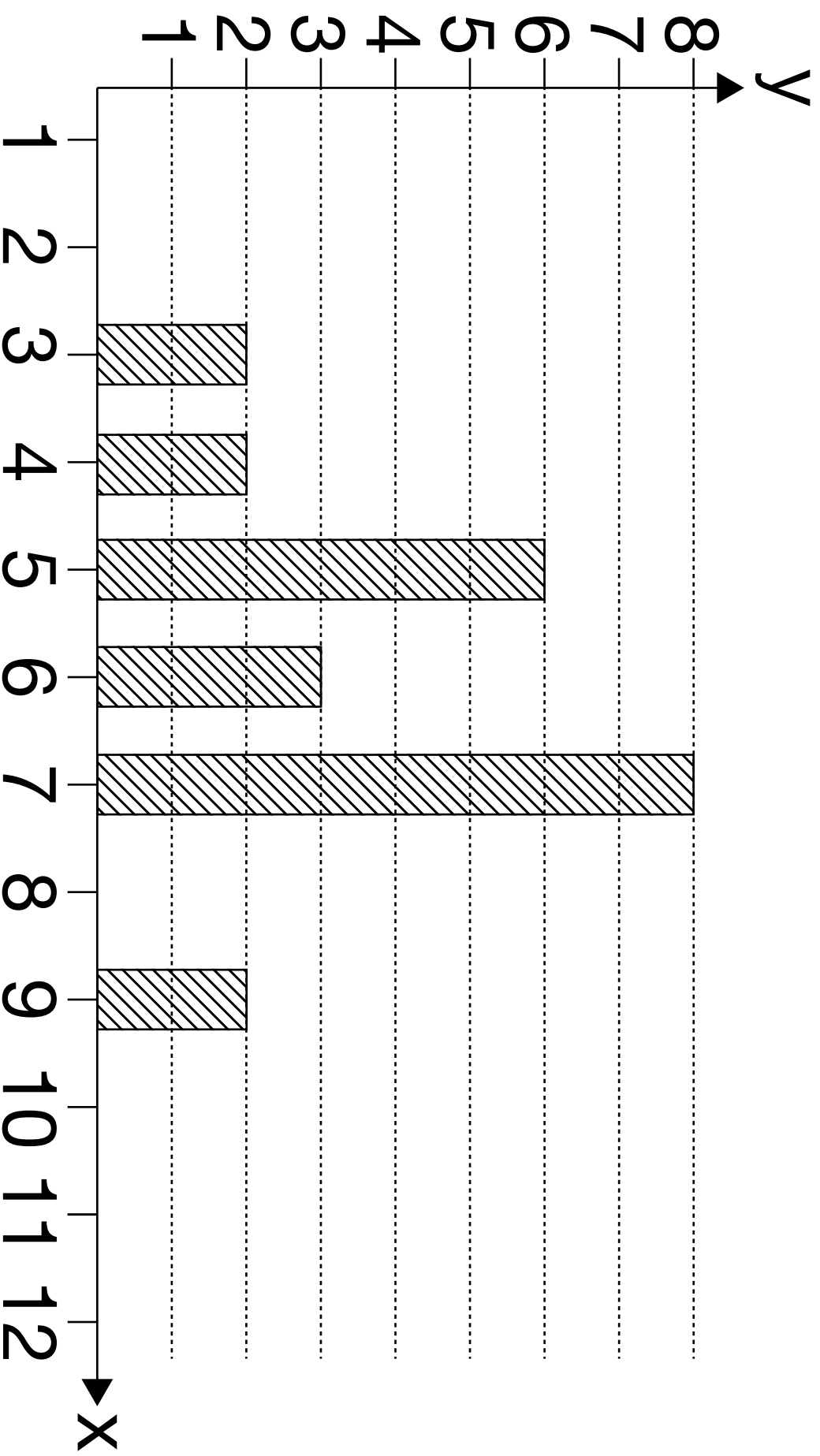


Abb. 9.1_1

x ... Jahr

y ... Wert des HDI

Europa und Zentralasien ... ez

arabische Staaten ... as

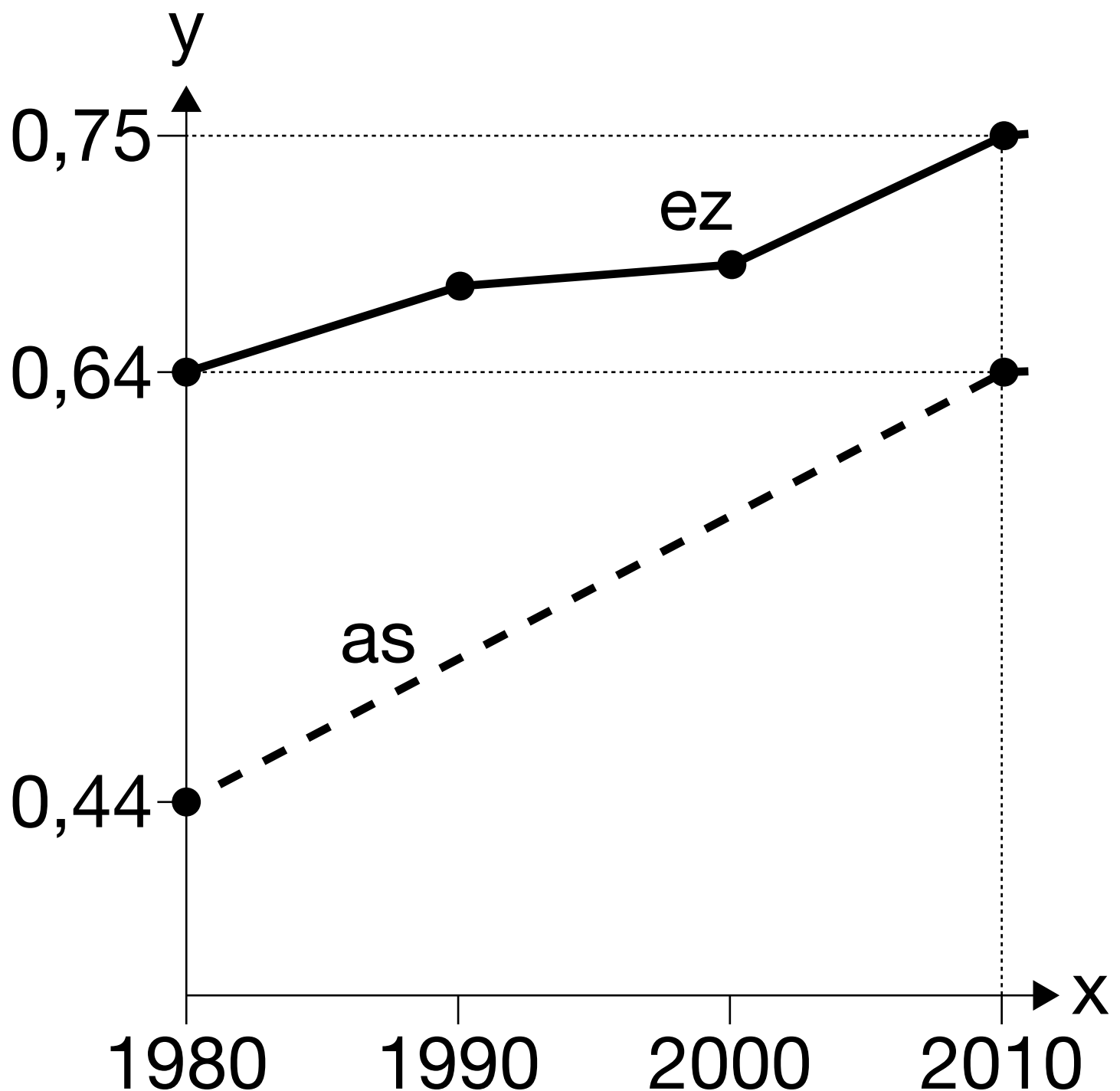


Abb. 9.1_2

x ... Jahr

y ... Wert des HDI

Südasien ... sa

Lateinamerika und Karibik ... lk

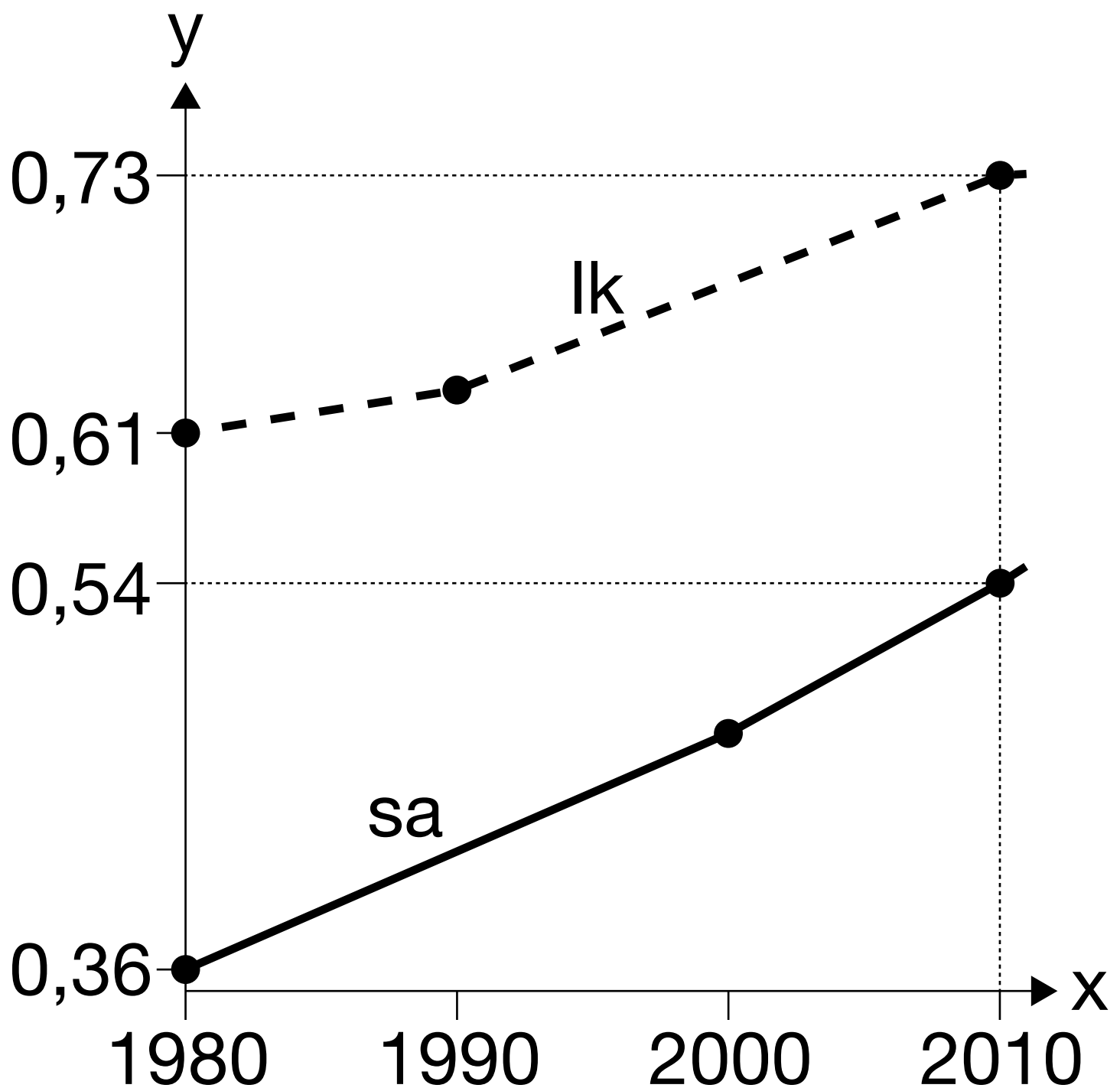


Abb. 9.1_3

x ... Jahr

y ... Wert des HDI

Subsahara ... ss

Ostasien und Pazifik ... op

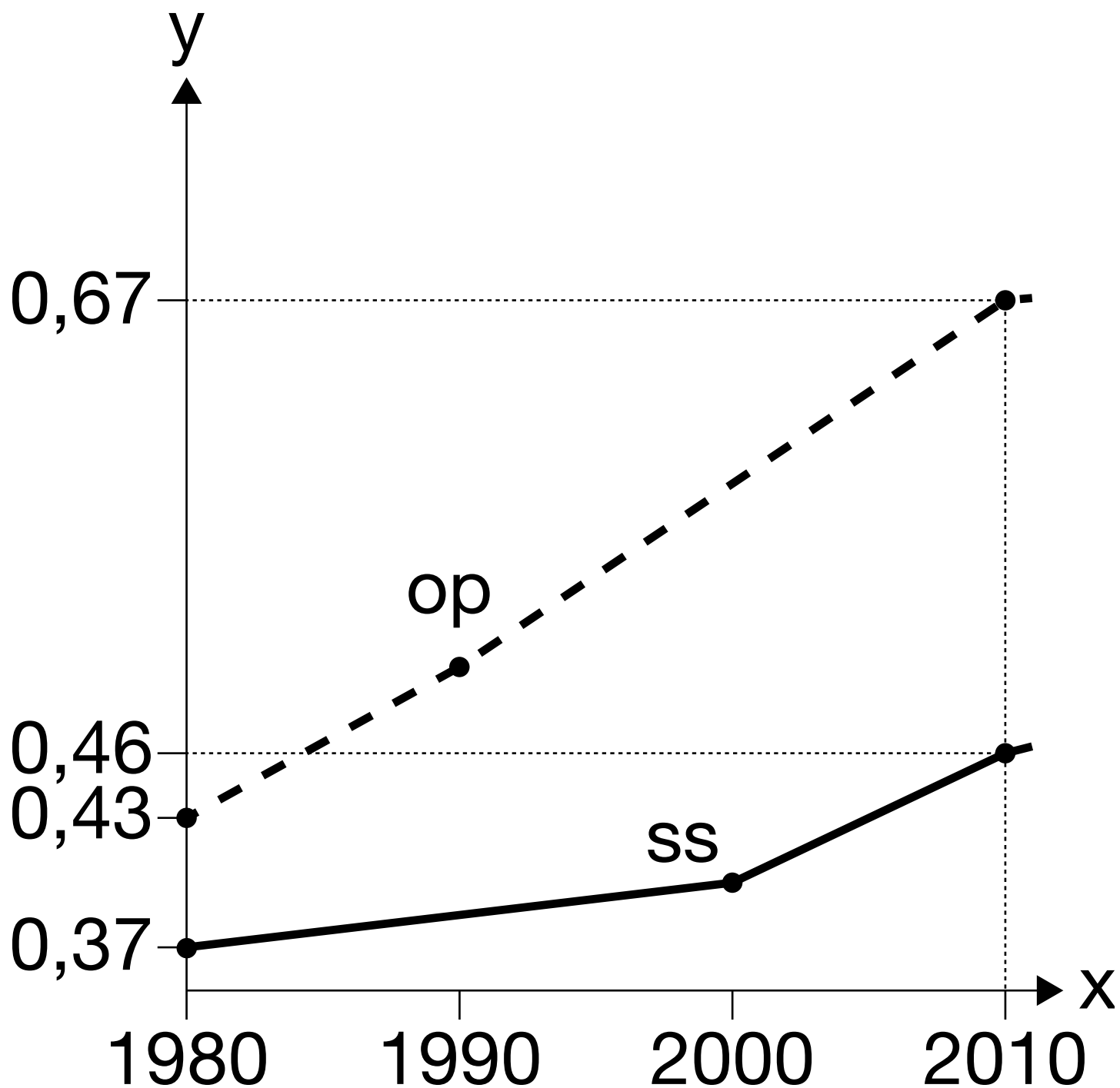


Abb. 10.1_1

A ... 50 %

B ... ?

C ... 33,333 %

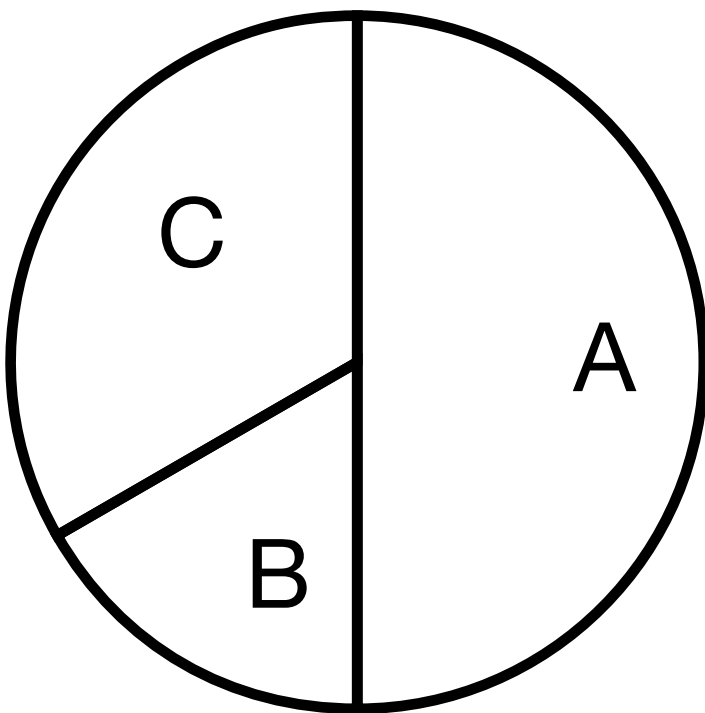


Abb. 10.1_2

